

RÉVISION INTRA-A22

I- Nyquist :

Cas 1 : $P(s)$ ne possède pas de pôles ou de zéros instables.

$$P(s) = \frac{K(s+1)}{s(s+2)(s+3)^2}$$

Étudier la stabilité de $P(s)$ en boucle fermée (retour unitaire).

Corrigé :

Le module de $P(s)$:

$$\omega = 0^+ \rightarrow A_i(\omega = 0^+) = \infty$$

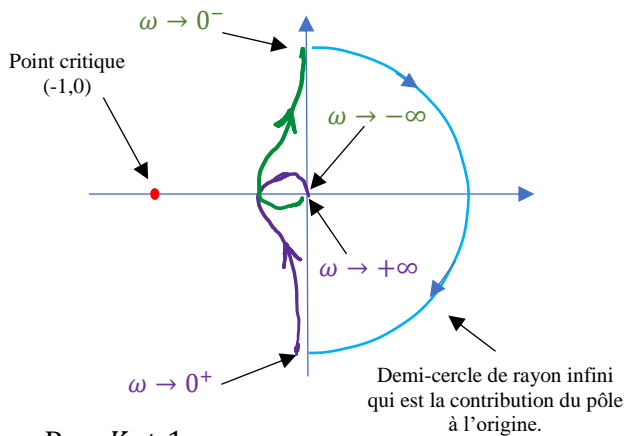
$$\omega = +\infty \rightarrow A_i(\omega = +\infty) = 0$$

La phase de $P(s)$:

$$\text{Un retard} \rightarrow \varphi_i(\omega = 0^+) = -90^\circ$$

$$n = 4, \quad m = 1 \rightarrow n - m = 3 \rightarrow \varphi_f(\omega = +\infty) = -90^\circ(n - m) = -270^\circ$$

Diagramme de Nyquist pour $K=1$:



Pour $K \neq 1$:

$$P(s) = \frac{K(s+1)}{s(s+2)(s+3)^2}$$

$$\rightarrow P(j\omega) = \frac{K(j\omega+1)}{j\omega(j\omega+2)(j\omega+3)^2} = \frac{-7K\omega^4 - 3K\omega^2 + j(K\omega^5 - 13K\omega^3 - 18K\omega)}{\omega^8 + 22\omega^6 + 153\omega^4 + 324\omega^2}$$

L'intersection de nyquist avec l'axe des réels est obtenue comme suit :

$$\text{Imag}(P(j\omega)) = 0 \rightarrow \omega_1 = 3.77 \text{ rad/s}$$

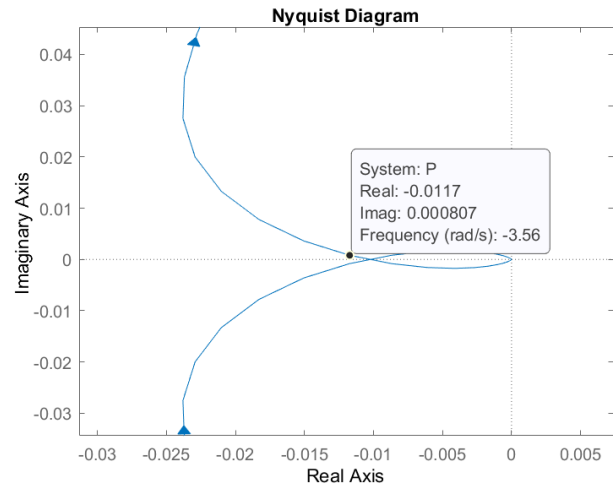
$$\text{Real}(P(j\omega_1)) = -0.0104K$$

Stabilité en boucle fermée :

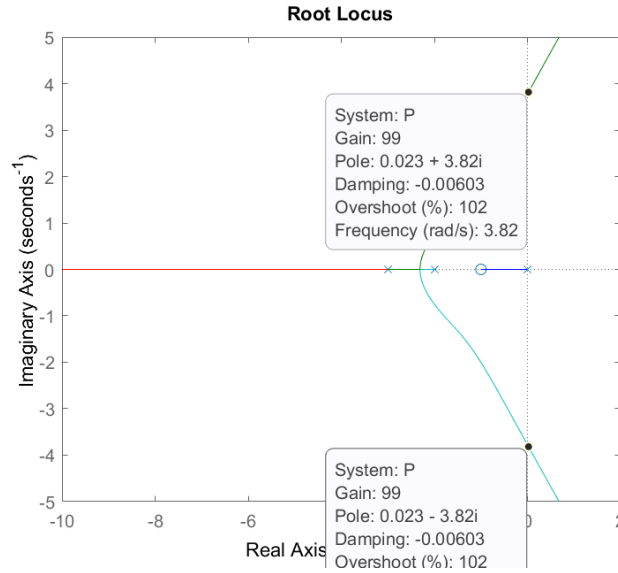
Comme $P(s)$ ne possède pas de pôles instables en boucle ouverte, le système en boucle fermée reste instable si le point critique n'est pas encerclé.

Donc :

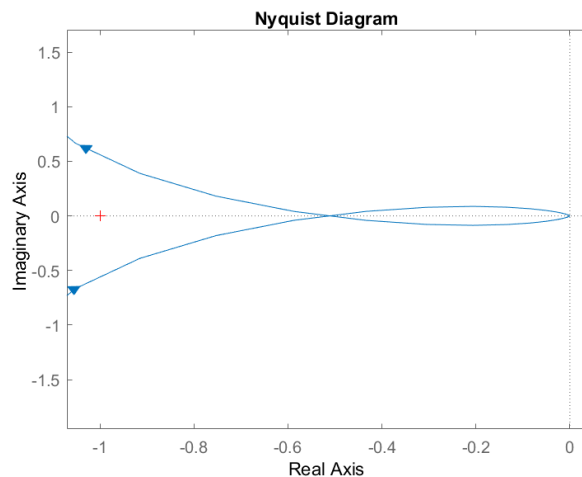
$$-0.0104K > -1 \rightarrow K < \frac{1}{0.0104} = 96.15$$



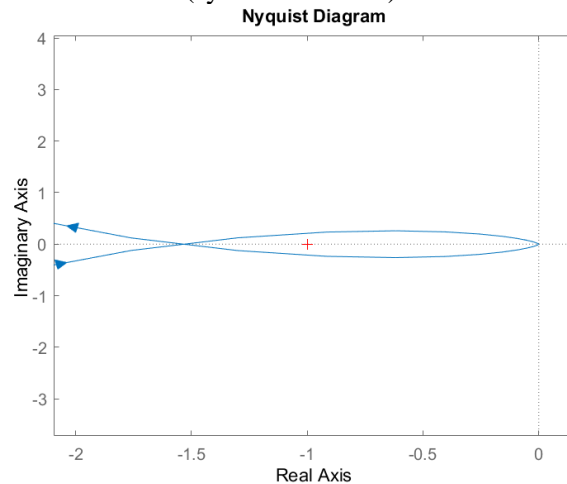
Validation avec la méthode de lieu des pôles :



Pour K=50 (système stable)



Pour K=150 (système instable)



Cas 2 : $P(s)$ possède un pôle instable

$$P(s) = \frac{K(s+1)}{s(s-2)(s+10)^2}$$

Étudier la stabilité de $P(s)$ en boucle fermée (retour unitaire).

Corrigé :

Le module de $P(s)$:

$$\omega = 0^+ \rightarrow A_i(\omega = 0^+) = \infty$$

$$\omega = +\infty \rightarrow A_i(\omega = +\infty) = 0$$

La phase de $P(s)$: Tracé de Bode.

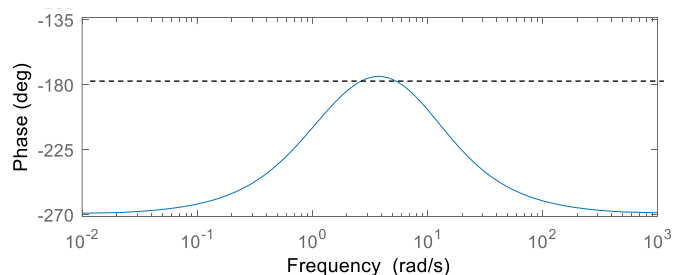
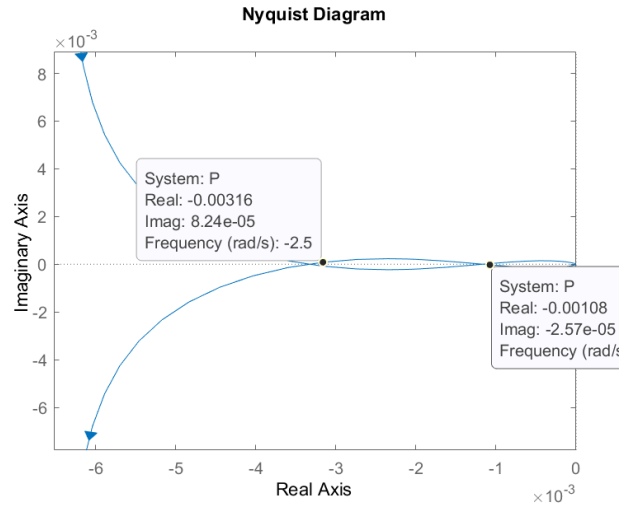
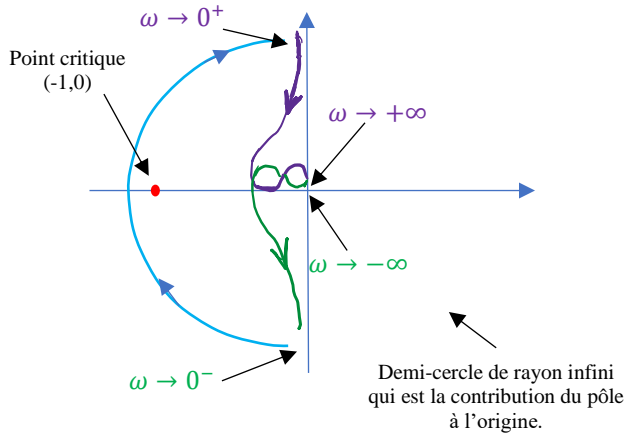


Diagramme de Nyquist pour $K=1$:



Pour $K \neq 1$:

$$P(s) = \frac{K(s+1)}{s(s-2)(s+10)^2}$$

$$\rightarrow P(j\omega) = \frac{K(j\omega+1)}{j\omega(j\omega-2)(j\omega+10)^2} = \frac{-17K\omega^4 - 260K\omega^2 + j(K\omega^5 - 42K\omega^3 + 200K\omega)}{\omega^8 + 204\omega^6 + 10800\omega^4 + 40000\omega^2}$$

Les deux intersections de nyquist avec l'axe des réels sont obtenues comme suit :

$$\text{Imag}(P(j\omega)) = 0 \rightarrow \omega_1 = 6.04 \text{ rad/s} , \omega_2 = 2.34 \text{ rad/s}$$

$$\text{Real}(P(j\omega_1)) = -0.0012K$$

$$\text{Real}(P(j\omega_2)) = -0.0033K$$

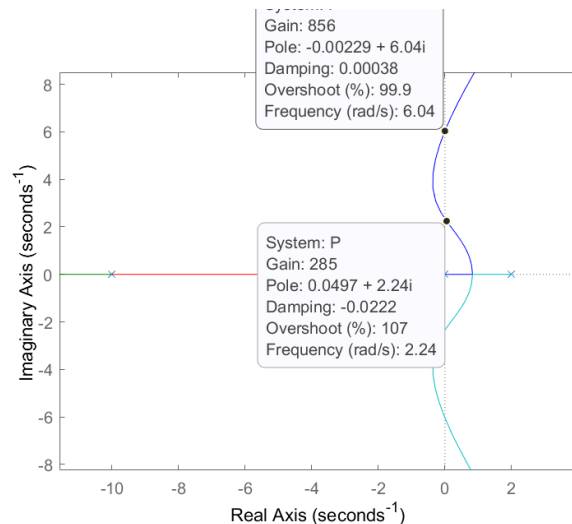
Stabilité en boucle fermée :

Comme $P(s)$ possède un pôle instable en boucle ouverte, le système en boucle fermée reste instable si le point critique est encerclé une fois dans le sens anti-horaire.

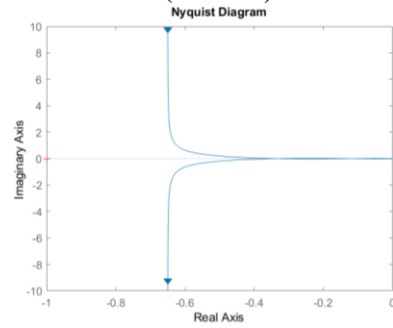
Donc :

$$-0.0012K > -1 > -0.0033K \rightarrow \frac{1}{0.0033} = 303.03 < K < \frac{1}{0.0012} = 833.33$$

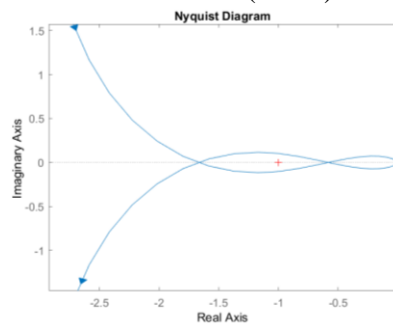
Validation avec la méthode de lieu des pôles :



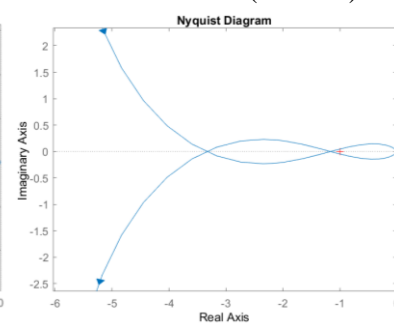
Pour K=100 (instable)



Pour K=500 (stable)



Pour K=1000 (instable)



Cas 3 : $P(s)$ possède un pôle instable et un zéro instable

$$P(s) = \frac{K(s-1)}{s(s-2)(s+10)^2}$$

Étudier la stabilité de $P(s)$ en boucle fermée (retour unitaire).

Corrigé :

Le module de $P(s)$:

$$\omega = 0^+ \rightarrow A_i(\omega = 0^+) = \infty$$

$$\omega = +\infty \rightarrow A_i(\omega = +\infty) = 0$$

La phase de $P(s)$: Tracé de Bode.

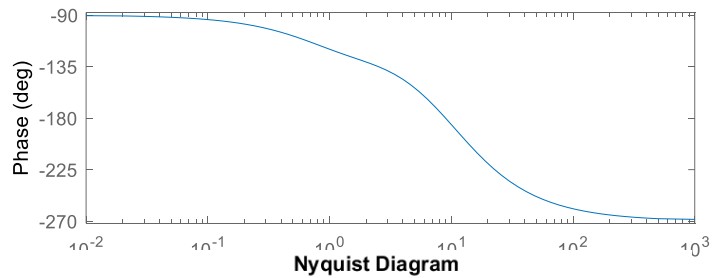
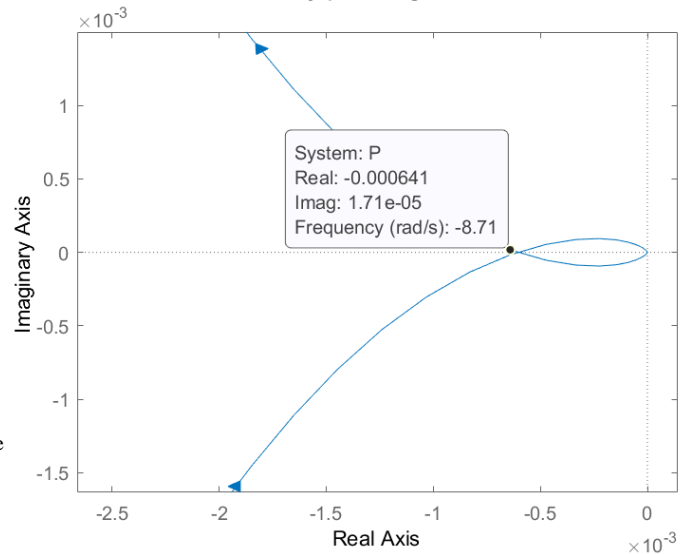
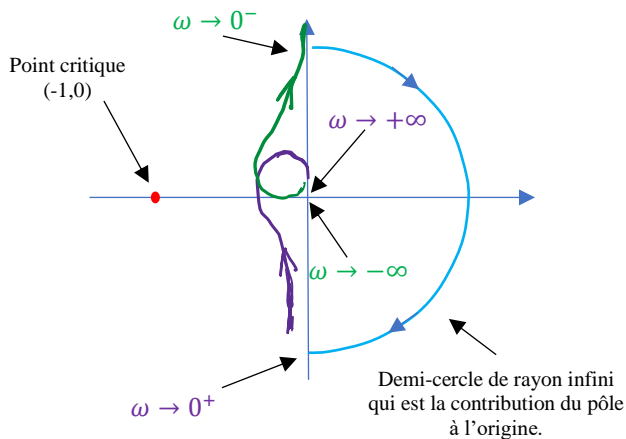


Diagramme de Nyquist pour K=1 :



Pour $K \neq 1$:

$$P(s) = \frac{K(s-1)}{s(s-2)(s+10)^2}$$

$$\rightarrow P(j\omega) = \frac{K(j\omega-1)}{j\omega(j\omega-2)(j\omega+10)^2} = \frac{-19K\omega^4 - 140K\omega^2 + j(K\omega^5 - 78K\omega^3 - 200K\omega)}{\omega^8 + 204\omega^6 + 10800\omega^4 + 40000\omega^2}$$

L'intersection de nyquist avec l'axe des réels est obtenue comme suit :

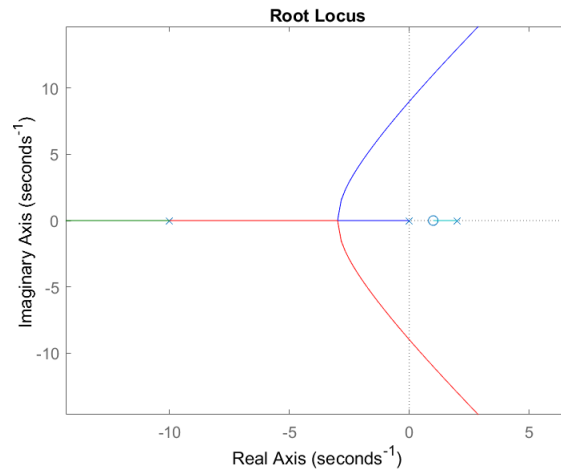
$$\text{Imag}(P(j\omega)) = 0 \rightarrow \omega_1 = 8.9713 \text{ rad/s}$$

$$\text{Real}(P(j\omega_1)) = -0.0023K$$

Stabilité en boucle fermée :

Comme $P(s)$ possède un pôle instable en boucle ouverte, le système en boucle fermée reste instable si le point critique est encerclé une fois dans le sens anti-horaire. Selon le diagramme de Nyquist, le sens de rotation est le sens horaire, donc le système reste instable quelle que soit la valeur de K .

Validation avec la méthode de lieu des pôles :



II- SOLUTION DE L'ÉQUATION D'ÉTAT : Question tirée du document : CHAPITRE V - Modèles d'état : Commandabilité, Observabilité, Solution de l'équation d'état.

Soit les modèles d'état suivants :

$$A = \begin{pmatrix} 0 & 1 \\ -2 & -3 \end{pmatrix}, B = \begin{pmatrix} 0 \\ 1 \end{pmatrix}, C = (1 \quad 0), x_0 = \begin{pmatrix} 1 \\ 1 \end{pmatrix}$$

a) Pour une entrée échelon unitaire, calculer $x(t)$ en utilisant :

La matrice de transition.

La transformation inverse de Laplace.

La matrice de similarité.

b) Calculer $y(t)$.

c) Trouver les matrices discrètes pour $T=0.1s$.

d) Calculer $X(z)$.

e) Calculer $x(kT)$ et $y(kT)$.

Corrigé :

a) Calcul de $x(t)$ en utilisant la matrice de transition :

$$A = [0 \ 1; -2 \ -3]; \quad B = [0; 1]; \quad C = [1 \ 0]; \quad x_0 = [1; 1]; \quad u = 1;$$

syms s

s*eye(2)-A

% ans =

% [s, -1]

% [2, s + 3]

```

inv(s*eye(2)-A)
% ans =
% [ (s + 3)/(s^2 + 3*s + 2) , 1/(s^2 + 3*s + 2)]
% [ -2/(s^2 + 3*s + 2) , s/(s^2 + 3*s + 2)]
phi=ilaplace(inv(s*eye(2)-A))
% phi = [ 2*exp(-t) - exp(-2*t) , exp(-t) - exp(-2*t)]
% [ 2*exp(-2*t) - 2*exp(-t) , 2*exp(-2*t) - exp(-t)]
phi_tau=ilaplace(inv(s*eye(2)-A),t-tau)
% phi_tau = [2*exp(tau - t) - exp(2*tau - 2*t) , exp(tau - t) -
exp(2*tau - 2*t)]
% [2*exp(2*tau-2*t) - 2*exp(tau - t) , 2*exp(2*tau -
2*t) - exp(tau - t)]
X=phi*x0+int(phi_tau*B*u,tau,0,t)
% x = 2*exp(-t) - (3*exp(-2*t))/2 + 1/2
% -exp(-2*t)*(2*exp(t) - 3)
y=C*x
% y = 2*exp(-t) - (3*exp(-2*t))/2 + 1/2

```

b) Calcul de $x(t)$ en utilisant la transformation inverse de Laplace :

```

A=[0 1;-2 -3]; B=[0;1];C=[1 0];x0=[1;1];u=1;
syms s
U=1/s;
s*eye(2)-A;
inv(s*eye(2)-A)
% ans = [ (s + 3)/(s^2 + 3*s + 2) , 1/(s^2 + 3*s + 2)]
% [ -2/(s^2 + 3*s + 2) , s/(s^2 + 3*s + 2)]
X=inv(s*eye(2)-A)*x0+inv(s*eye(2)-A)*B*U
% X =
% 1/(s^2 + 3*s + 2) + (s + 3)/(s^2 + 3*s + 2) + 1/(s*(s^2 + 3*s + 2))
% s/(s^2 + 3*s + 2) - 1/(s^2 + 3*s + 2)
x=ilaplace(X)
% x =
% 2*exp(-t) - (3*exp(-2*t))/2 + 1/2
% 3*exp(-2*t) - 2*exp(-t)
y=C*x
% y = 2*exp(-t) - (3*exp(-2*t))/2 + 1/2

```

c) Calcul de $x(t)$ en utilisant la matrice de similarité :

```

A=[0 1;-2 -3]; B=[0;1];C=[1 0];x0=[1;1];u=1;
[M,V]=eig(A);
inv(M)*A*M
% ans =
% -1.0000 -0.0000
% 0 -2.0000
inv(M)*B
% ans =
% 1.4142
% 2.2361
C*M

```

```
% ans =
%      0.7071      -0.4472
q0=inv(M)*x0
% q0 =      4.2426
%      4.4721
syms t
q=[q0(1)*exp(S(1,1)*t)      ;      q0(2)*exp(S(2,2)*t)]+inv(M)*B*u]
% q =      2^(1/2) + 3*2^(1/2)*exp(-t)
%      5^(1/2) + 2*5^(1/2)*exp(-2*t)
x=M*q
% x =      3*exp(-t)-2*exp(-2*t)
%      4*exp(-2*t) - 3*exp(-t) + 1
y = C*M*q
% y =      3*exp(-t)-2*exp(-2*t)
```

d) Calcul des matrices discrètes (T=0.1) :

```
A=[0 1;-2 -3]; B=[0;1];C=[1 0];x0=[1;1];u=1;
```

```
T=0.1;
```

$$AT = \begin{pmatrix} 0 & 1 \\ -2 & -3 \end{pmatrix} 0.1 = \begin{pmatrix} 0 & 0.1 \\ -0.2 & -0.3 \end{pmatrix} \ll 1$$

$AT \ll 1$, la matrice discrète peut être calculée de la façon suivante :

```
Ad=eye(2)+T*A
```

```
Bd=T*B
```

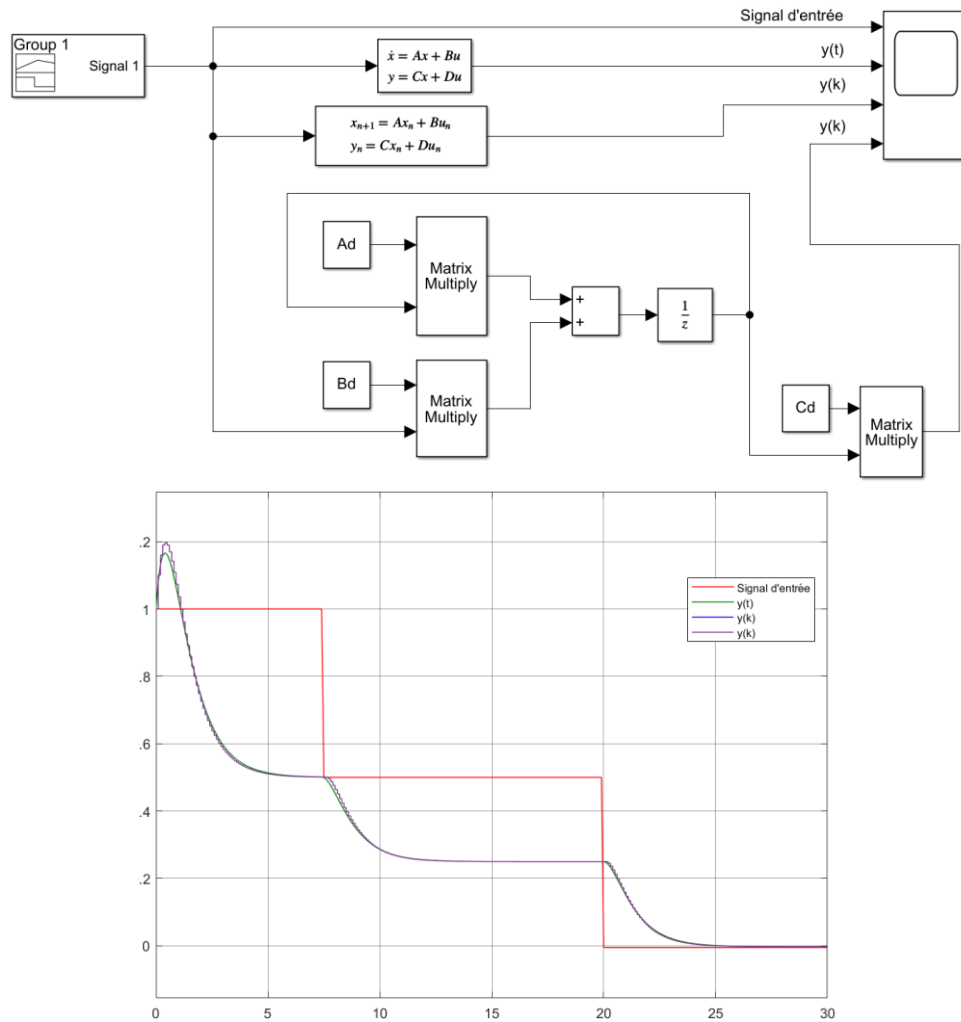
```
Cd=C
```

```
% Ad =
%      1.0000      0.1000
%      -0.2000      0.7000
% Bd =
%      0
%      0.1000
```

e) Calcul de $x(k)$ en utilisant la transformée en z :

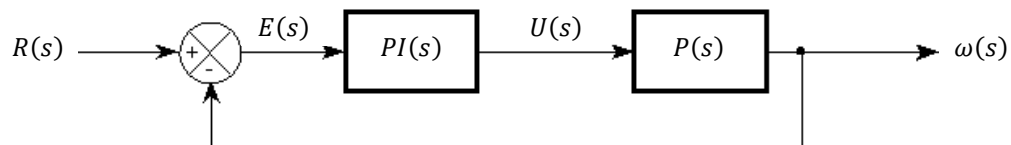
```
syms z
Ud=z/(z-1);
z*eye(2)-Ad;
inv(z*eye(2)-Ad)
% ans = [ (5*(10*z - 7))/(50*z^2 - 85*z + 36) , 5/(50*z^2 - 85*z + 36) ]
%      [ -10/(50*z^2 - 85*z + 36) , (50*(z - 1))/(50*z^2 - 85*z + 36) ]
Xd=inv(z*eye(2)-A)*z*x0+inv(z*eye(2)-Ad)*Bd*Ud
% Xd =
%      (50*z^2 - 30*z + 2)/(50*z^2 - 85*z + 36)
%      -(10*(-5*z^2 + 4*z + 2))/(50*z^2 - 85*z + 36)
xd=iztrans(Xd)
% xd =
%      (31*(9/10)^n)/9 - (5*(4/5)^n)/2 + 1/18
%      5*(4/5)^n - (31*(9/10)^n)/9 - 5/9
yd=Cd*xd
% yd =
%      (31*(9/10)^n)/9 - (5*(4/5)^n)/2 + 1/18
```

f) Réponse indicielle :



III- CIRCUIT DE PHASE : Question tirée du document : CHAPITRE II – Rappels de la commande classique.

Soit un système de rétroaction comprenant le processus $P(s)$ ainsi qu'un compensateur $PI(s)$ dans son gain de boucle. L'objectif est d'améliorer la marge de phase par le truchement d'un compensateur à avance de phase de façon à obtenir une marge de phase MP souhaitée de $MP = 67^\circ$.



Fonction de transfert du système :

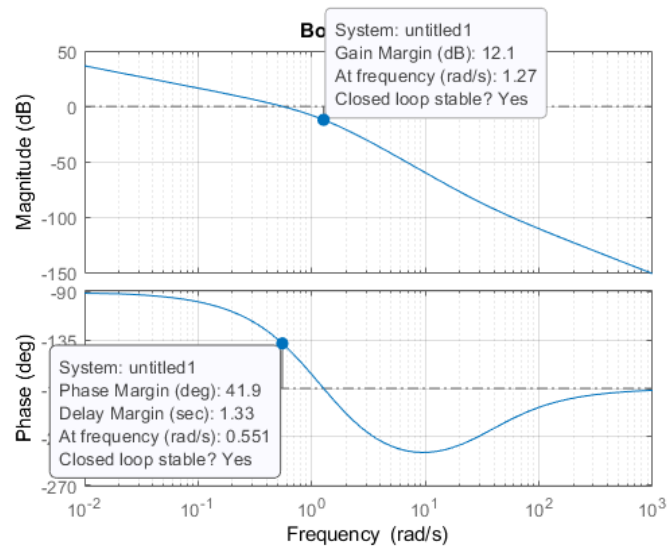
$$P(s) = \frac{0.5}{(s+1)(s+1.5)}$$

Fonction de transfert du contrôleur proportionnel intégral :

$$PI(s) = K_p + \frac{K_i}{s}, \quad K_p = 0.058: \text{Gain proportionnel}, K_i = 2.01: \text{Gain intégral}$$

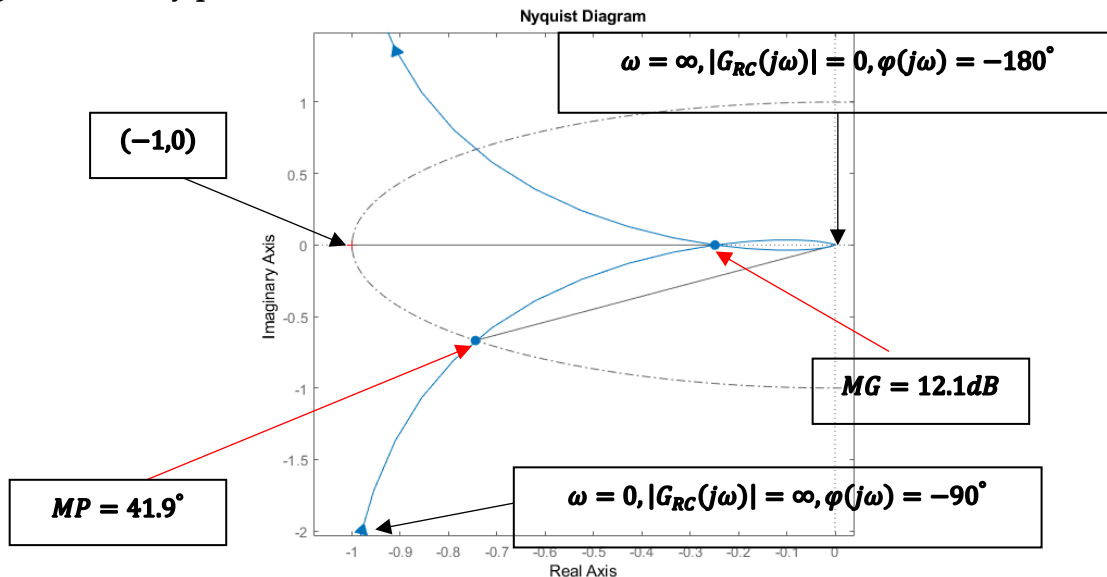
La fonction de transfert en boucle ouverte :

$$G_{BO}(s) = \left(K_p + \frac{K_i}{s}\right) \cdot P(s) = \left(K_p + \frac{K_i}{s}\right) \cdot \frac{0.5}{(s+1)(s+1.5)} = \frac{0.5(K_p s + K_i)}{s(s+1)(s+1.5)}$$



La lecture du diagramme de Bode : $MG = 12.1$ et $MP = 41.9^\circ$. La marge de gain est mesurée à la fréquence $\omega = 1.21 \text{ rad/s}$ et la marge de phase est mesurée à la fréquence $\omega = 0.55 \text{ rad/s}$.

Diagramme de Nyquist de la boucle ouverte :



L'encerclement à droite de rayon infini n'est pas représenté dans ce graphe.

Conception du circuit de phase $C_{AP}(s)$:

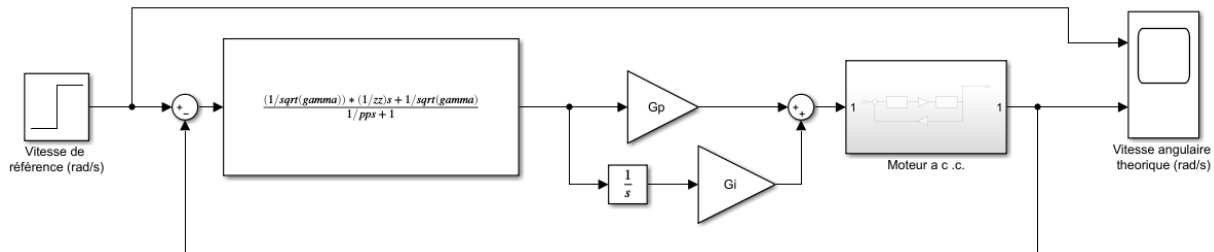
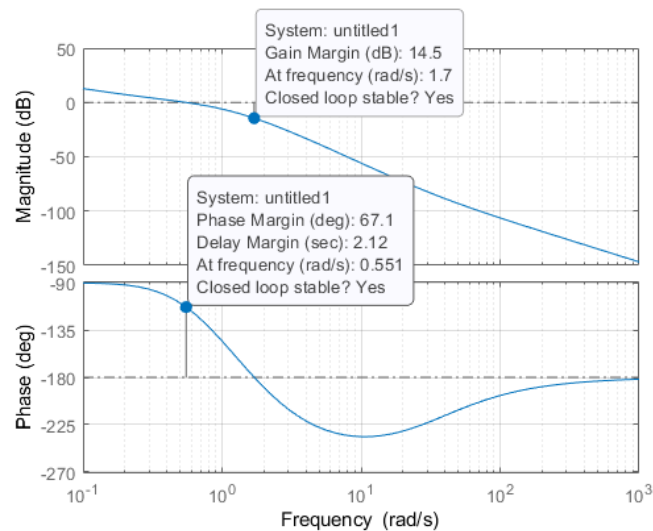
Pour obtenir une marge de phase $MP = 67^\circ$, il faut introduire une avance de phase $\varphi = 67^\circ - 41.9^\circ = 25.1^\circ$ à $\omega = 0.55 \text{ rad/s}$.

$$C_{AP}(s) = \frac{1}{\sqrt{\gamma}} \frac{1 + \frac{s}{z}}{1 + \frac{s}{p}}, \text{ Telle que : } z = \frac{\omega_m}{\sqrt{\gamma}}, \quad p = \sqrt{\gamma} \omega_m, \quad \gamma = \frac{1 + \sin \varphi}{1 - \sin \varphi}, \quad \omega_m = 0.55 \text{ rad/s},$$

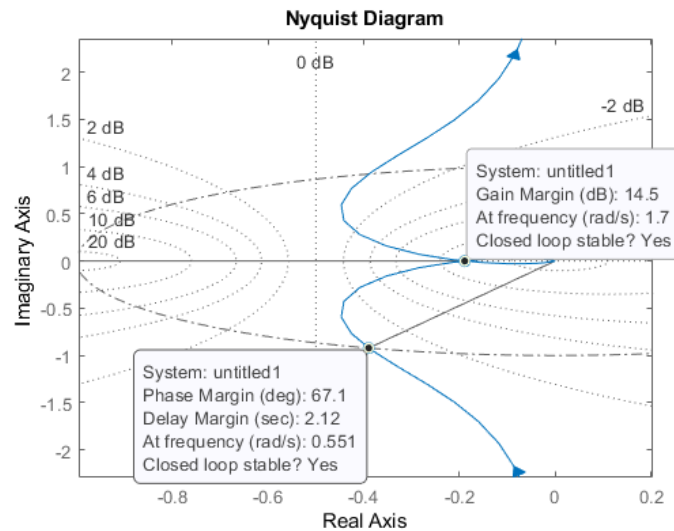
$$\varphi = 25.1^\circ$$

Simulation Matlab :

```
Phi=0.44; % Phi = MP souhaitee =67 deg - MP actuelle = 41.9
gamma=(1+sin(Phi))/(1-sin(Phi));
wu=0.55; % wu à MP=67 deg
zz=wu/sqrt(gamma); % zero du compensateur
pp=sqrt(gamma)*wu; % pole du compensateur
Ca=tf((1/sqrt(gamma))*(1/zz)s + 1/sqrt(gamma),[1/pp 1]);
% Fonction de transfert en boucle fermee avec compensateur
GMC_BF=(Ca*Gpi*Gm)/(1+(Ca*Gpi*Gm));
```

Simulation par Simulink :**Diagramme de Bode :**

La lecture du diagramme de Bode montre : $MG = 14.5 \text{ dB}$ et $MP = 67.1^\circ$. La marge de gain est mesurée à la fréquence $\omega = 1.7 \text{ rad/s}$ et la marge de phase est mesurée à la fréquence $\omega = 0.55 \text{ rad/s}$.

Diagramme de Nyquist :

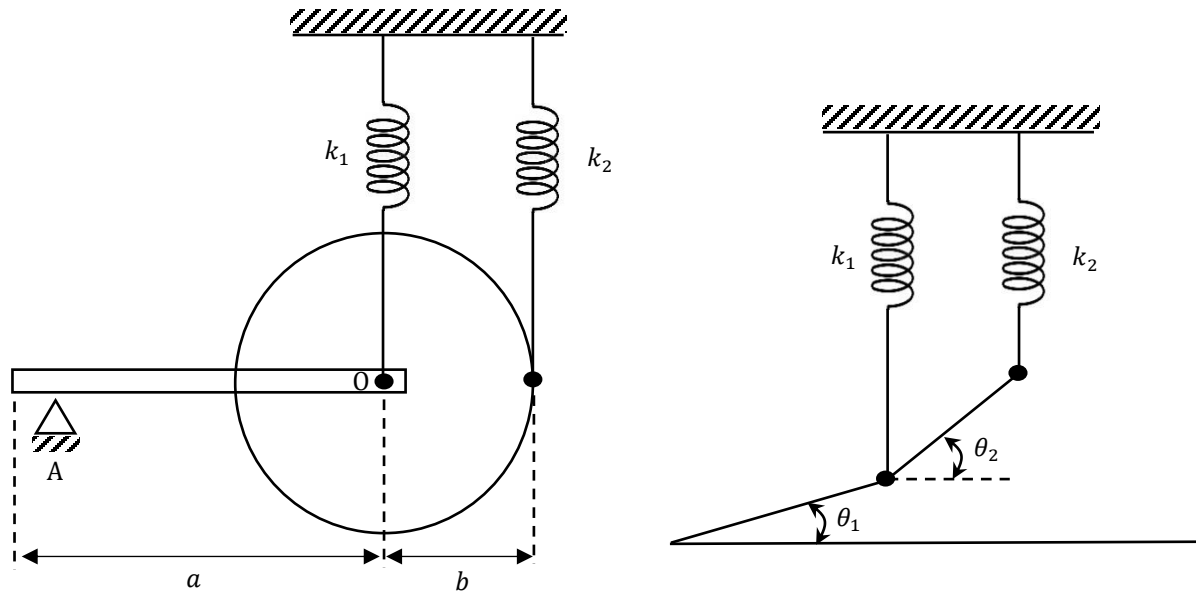
L'encerclement à droite de rayon infini n'est pas représenté dans ce graphe.

Étude de stabilité en utilisant le Diagramme de Nyquist :

Nous notons que le point critique $(-1,0)$ n'est pas encerclé, ce qui assure la stabilité car il n'y a aucun pôle instable dans la boucle ouverte. En effet :

IV- MODEL D'ETAT : Question tirée de l'examen intra A21 (15 points) :

Effectuer la modélisation de Lagrange du système suivant et la mettre sous forme d'état :



J_1 est le moment d'inertie de la barre et du tambour autour du point d'appui A

J_2 est le moment d'inertie du tambour par rapport à son centre O.

k_1 , k_2 sont des ressorts et k_T est la constante de friction circulaire du tambour

Corrigé :

$$\frac{d}{dt} \left(\frac{\partial T}{\partial \dot{q}_i} \right) - \frac{\partial T}{\partial q_i} + \frac{\partial D}{\partial \dot{q}_i} + \frac{\partial U}{\partial q_i} = Q \quad , \quad q_1 = \theta_1 \quad , \quad q_2 = \theta_2, Q = 0$$

$$T = \frac{1}{2} J_1 \dot{\theta}_1^2 + \frac{1}{2} J_2 \dot{\theta}_2^2$$

$$U = \frac{1}{2} k_1 (a\theta_1)^2 + \frac{1}{2} k_2 (a\theta_1 + b\theta_2)^2$$

$$D = \frac{1}{2} k_T (\dot{\theta}_2 - \dot{\theta}_1)^2$$

$$q_1 = \theta_1$$

$$\frac{d}{dt} \left(\frac{\partial T}{\partial \dot{\theta}_1} \right) - \frac{\partial T}{\partial \theta_1} + \frac{\partial D}{\partial \dot{\theta}_1} + \frac{\partial U}{\partial \theta_1} = 0 \quad \rightarrow \quad J_1 \ddot{\theta}_1 + k_1 a^2 \theta_1 + k_2 a (a\theta_1 + b\theta_2) - k_T (\dot{\theta}_2 - \dot{\theta}_1) = 0$$

$$q_2 = \theta_2$$

$$\frac{d}{dt} \left(\frac{\partial T}{\partial \dot{\theta}_2} \right) - \frac{\partial T}{\partial \theta_2} + \frac{\partial D}{\partial \dot{\theta}_2} + \frac{\partial U}{\partial \theta_2} = 0 \quad \rightarrow \quad J_2 \ddot{\theta}_2 + k_2 b (a\theta_1 + b\theta_2) + k_T (\dot{\theta}_2 - \dot{\theta}_1) = 0$$

Choix des variables d'état :

$$x_1 = \theta_1, x_2 = \dot{x}_1 = \dot{\theta}_1, x_3 = \theta_2, x_4 = \dot{\theta}_2$$

Modèle d'état :

$$\begin{pmatrix} \dot{x}_1 \\ \dot{x}_2 \\ \dot{x}_3 \\ \dot{x}_4 \end{pmatrix} = \begin{pmatrix} 1 & 0 & 0 & 0 \\ -\frac{a^2(k_1 + k_2)}{J_1} & -\frac{K_T}{J_1} & -\frac{abk_2}{J_1} & \frac{K_T}{J_1} \\ 0 & 0 & 1 & 0 \\ -\frac{abk_2}{J_2} & \frac{b^2k_2}{J_2} & \frac{K_T}{J_2} & -\frac{K_T}{J_2} \end{pmatrix} \begin{pmatrix} x_1 \\ x_2 \\ x_3 \\ x_4 \end{pmatrix}$$